

УДК 532.501.34+532.517.2

## УСТОЙЧИВОСТЬ ПОГРАНИЧНОГО СЛОЯ НА ВОЛНИСТОЙ ПОВЕРХНОСТИ

В. Я. ЛЕВЧЕНКО, А. С. СОЛОВЬЕВ

(Новосибирск)

Исследуется устойчивость по отношению к малым возмущениям течений, скорость которых периодически зависит от пространственной координаты, направленной вдоль течения. Проведены расчеты устойчивости в случае, когда распределение скорости представляет собой решение уравнений пограничного слоя.

1. В исследованиях устойчивости ламинарных течений при больших числах Рейнольдса обычно рассматриваются такие течения, скорость которых либо не меняется при изменении продольной координаты  $x$ , либо меняется значительно медленнее скорости возмущающего движения. Расчет устойчивости в линейном приближении сводится при этом к нахождению собственных значений обыкновенного дифференциального уравнения четвертого порядка. Если основное течение меняется достаточно быстро с изменением  $x$ , как это происходит в струях, следах, в пограничном слое при отсосе через щели или (в некоторых случаях) на искривленных поверхностях, то в исследованиях устойчивости необходимо учитывать существенную зависимость от  $x$  скорости основного течения. В общей постановке проблема очень сложна, и пока не существует общего метода расчета устойчивости таких течений.

Однако, как показано ниже, в важном частном случае, когда основное течение зависит от  $x$  периодически, все же удается поставить и решить задачу о собственных значениях путем сведения уравнения в частных производных к некоторой системе обыкновенных дифференциальных уравнений и исследовать таким образом устойчивость по отношению к малым возмущениям быстромменяющегося по  $x$  течения. В качестве основного течения в этой работе взято рассмотренное Гертлером [1] периодическое по  $x$  течение в пограничном слое над слабо волнистой поверхностью. В технических приложениях часто встречаются волнистые стенки, поэтому решение этой задачи позволяет получить количественные оценки влияния волнистости поверхности на устойчивость ламинарного пограничного слоя. В расчетах устойчивости рассматриваются двумерные возмущения, жидкость считается вязкой и несжимаемой.

2. Двумерное движение вязкой несжимаемой жидкости описывается функцией тока, которая удовлетворяет уравнению

$$\frac{\partial}{\partial t}(\Delta\psi) + \frac{\partial(\Delta\psi, \psi)}{\partial(x, y)} = \frac{1}{R} \Delta\Delta\psi, \quad \Delta = \frac{\partial^2}{\partial x^2} + \frac{\partial^2}{\partial y^2} \quad (2.1)$$

Здесь  $t$  — время,  $R$  — число Рейнольдса. Для изучения малых возмущений основного установившегося течения функция тока  $\psi(x, y, t)$  обычно представляется в виде

$$\psi(x, y, t) = \psi^{\circ}(x, y) + \psi'(x, y, t)$$

и в уравнении (2.1) оставляют только члены, линейные относительно малого возмущения  $\psi'(x, y, t)$  (см., например, [2])

$$\frac{\partial}{\partial t}(\Delta\psi') + \frac{\partial(\Delta\psi^{\circ}, \psi')}{\partial(x, y)} + \frac{\partial(\Delta\psi', \psi^{\circ})}{\partial(x, y)} = \frac{1}{R} \Delta\Delta\psi'. \quad (2.2)$$

Коэффициенты этого уравнения не зависят от  $t$ , и, следовательно, можно принять [2], что  $\psi'(x, y, t)$  имеет вид

$$\psi'(x, y, t) = e^{\sigma t} \Psi(x, y) \quad (2.3)$$

где  $\sigma$  комплексно. Подстановка (2.3) в (2.2) дает

$$\sigma \Delta \Psi + \frac{\partial(\Delta \Psi^\circ; \Psi)}{\partial(x, y)} + \frac{\partial(\Delta \Psi, \Psi^\circ)}{\partial(x, y)} = \frac{1}{R} \Delta \Delta \Psi \quad (2.4)$$

Течение считается устойчивым, если  $\operatorname{Re} \sigma < 0$  и неустойчивым, если  $\operatorname{Re} \sigma > 0$ .

Пусть основное течение  $\Psi^\circ(x, y)$  периодически по координате  $x$  с периодом  $2\pi/\beta$ . По аналогии с методом Флоке для обыкновенных дифференциальных уравнений будем искать решение уравнения (2.4) в виде

$$\Psi(x, y) = e^{i\alpha x} \Phi(x, y) \quad (2.5)$$

Здесь  $\alpha$  действительно, а  $\Phi(x, y)$  — периодическая функция  $x$  с периодом  $2\pi/\beta$ . Так как функция  $\Phi$  периодична по  $x$ , то, если  $\Psi^\circ(x, y)$  имеет вид

$$\Psi^\circ(x, y) = \sum_{k=0}^{\infty} h_k(y) e^{ik\beta x} + \sum_{k=0}^{\infty} h_k^*(y) e^{-ik\beta x} \quad (2.6)$$

можно представить  $\Phi(x, y)$  в виде следующего ряда Фурье:

$$\Phi(x, y) = \sum_{n=-\infty}^{\infty} \varphi_n(y) e^{in\beta x} \quad (2.7)$$

Тогда из (2.4) для функций  $\varphi_n$  получаем бесконечную связанную систему линейных обыкновенных дифференциальных уравнений

$$\begin{aligned} (U\alpha_n - \alpha c)A_n - U''\alpha_n\varphi_n - \frac{1}{iR}(\varphi_n^{IV} - 2\alpha_n^2\varphi_n'' + \alpha_n^4\varphi_n) = \\ = \sum_{k=1}^{\infty} \{a_k'\alpha_{n-k}\varphi_{n-k} + a_k^*\alpha_{n+k}\varphi_{n+k} - h_k'\alpha_{n-k}A_{n-k} - h_k^*\alpha_{n+k}A_{n+k} + \\ + k\beta[h_k A_{n-k}' - h_k^* A_{n+k}' - a_k\varphi_{n-k}' + a_k^*\varphi_{n+k}'] \} \end{aligned} \quad (2.8)$$

Здесь введены следующие обозначения:

$$\begin{aligned} \alpha_n = \alpha + n\beta, \quad U = 2 \operatorname{Re} h_0', \quad \sigma = -i\alpha c, \quad c = c_r + ic_i \\ A_n = \varphi_n'' - \alpha_n^2\varphi_n, \quad a_n = h_n'' - (n\beta)^2 h_n \end{aligned}$$

Звездочка сверху обозначает комплексно-сопряженную величину, штрих — производную по  $y$ .

Если граничные условия однородны, то при заданных  $\alpha$ ,  $\beta$  и  $R$  имеем задачу на собственные значения, причем течение устойчиво или неустойчиво в зависимости от того,  $c_i$  отрицательно или положительно. Основная трудность при решении системы (2.8) заключается в том, что бесконечная система (2.8) связана. Однако поскольку основное течение известно до решения задачи, то ряд (2.6) можно оборвать, взяв в нем с нужной точностью лишь конечное число членов. Тогда в суммах по  $k$  в выражениях (2.6) и (2.8) верхним пределом будет некоторое число  $p$ . Предположим, что если ряд (2.7) также оборвать, т. е. принять

$$\Phi(x, y) = \sum_{n=-s}^{n=s} \varphi_n(y) e^{in\beta x} \quad (2.9)$$

где  $s$  — положительное число, а в системе (2.8) пренебречь членами, содержащими  $\varphi_{s+1}, \varphi_{-s-1}, \varphi_{s+2}, \varphi_{-s-2}, \dots$ , то при этом найденные собственные значения  $s$ , начиная с некоторого большого  $s$ , практически с нужной точностью не будут зависеть от  $s$ . Значение  $s$  выбирается в процессе решения конкретной задачи и зависит от вида функции  $\psi^\circ(x, y)$ .

3. Как показал Гертлер [1], при определенных ограничениях пограничный слой, образующийся на слабо волнистой поверхности, можно характеризовать функцией тока вида

$$\psi^\circ(x, y) = \psi_0(\beta x, y) + \varepsilon \{h(y)e^{i\beta x} + h^*(y)e^{-i\beta x}\} \quad (3.1)$$

Здесь  $x, y$  — обычные координаты пограничных слоев,  $\psi_0$  — функция тока пограничного слоя на гладкой поверхности,  $\varepsilon$  — малая величина, связанная с характеристиками волнистости поверхности, а функция  $h$  имеет вид:  $h = 1/2(f_1 - ig_1)$ . Функции  $f_1$  и  $g_1$  рассчитывались в [1] и более точно в этой работе с применением метода ортогонализации [3]. Соотношение (3.1) совпадает с (2.6), если положить  $p = 1$  и  $h_1 = \varepsilon h$ . Учитывая, что  $\psi^\circ(x, y)$  — решение уравнений пограничного слоя, т. е. производные  $\psi^\circ(x, y)$  по  $x$  имеют более высокий порядок малости, чем производные по  $y$ , в системе (2.8) можно пренебречь членами в квадратных скобках и взять  $a_1 = h_1''$ . Тогда (2.8) будет иметь вид

$$\begin{aligned} & (Ua_n - ac)A_n - U''a_n\varphi_n - \frac{1}{iR}(\varphi_n^{IV} - 2a_n^2\varphi_n'' + a_n^4\varphi_n) = \\ & = \varepsilon \{h'''a_{n-1}\varphi_{n-1} + h''''a_{n+1}\varphi_{n+1} - h'a_{n-1}A_{n-1} - h''a_{n+1}A_{n+1}\} \quad (n = -s, \dots, s) \end{aligned} \quad (3.2)$$

где  $U$  — профиль скорости на гладкой поверхности, т. е. при  $\varepsilon = 0$ . Граничные условия для системы (3.2) имеют вид

$$\varphi_n = 0, \quad \varphi_n' = 0 \quad (y = 0), \quad \varphi_n, \varphi_n' \rightarrow 0 \quad (y \rightarrow \infty) \quad (3.3)$$

и выражают требование обращения в нуль составляющих скорости возмущения на поверхности и на достаточно большом расстоянии от стенки.

Пренебрегая в (3.2) членами, содержащими функции  $\varphi_{s+1}$  и  $\varphi_{-s-1}$ , получающуюся систему уравнений удобно записать в векторной форме

$$Z' = CZ \quad (3.4)$$

где  $Z$  — вектор-столбец с компонентами

$$Z(\varphi_{-s}, \varphi_{-s}', \varphi_{-s}'', \varphi_{-s}''', \dots, \varphi_0, \varphi_0', \varphi_0'', \varphi_0''', \dots, \varphi_s, \varphi_s', \varphi_s'', \varphi_s''')$$

а  $C$  — квадратная размером  $4(2s+1) \times 4(2s+1)$  соответствующая (3.2) матрица коэффициентов. При  $y \rightarrow \infty$  (вне пограничного слоя) система (3.4) переходит в систему обыкновенных дифференциальных уравнений с постоянными коэффициентами, так как  $U, f_1 \rightarrow 1$  и  $U'', g_1 \rightarrow 0$ . При этом решение системы (3.4), удовлетворяющее второму из граничных условий (3.3), имеет вид

$$Z = \sum_{i=1}^{2(2s+1)} B_i Z^{(i)} e^{\pm \kappa_i y} \quad (3.5)$$

где  $\kappa_i$  — собственные числа матрицы  $C$ , причем знак должен выбираться с учетом того, что  $Z$  затухает при  $y \rightarrow \infty$ ,  $B_i$  — произвольные скалярные постоянные,  $Z^{(i)}$  — собственные векторы, соответствующие  $\kappa_i$ .  $2s+1$  соб-

ственных чисел  $\kappa$  легко находятся и не зависят от чисел  $R$  и  $\varepsilon$

$$\kappa_n = \alpha_n, \quad n = -s, \dots, s \quad (3.6)$$

Еще  $2s + 1$  собственных чисел  $\kappa$  зависят от  $R$  и  $\varepsilon$  и при  $\varepsilon = 0$  имеют вид

$$\kappa_n = [iR(\alpha_n - ac) + \alpha_n^2]^{1/2}, \quad n = -s, \dots, s \quad (3.7)$$

Легко видеть, что при малых  $\varepsilon \neq 0$  собственные числа  $\kappa$ , зависящие от  $R$ , очень близки к значениям  $\kappa$ , найденным при  $\varepsilon = 0$ .

Рассмотрим для простоты случай  $s = 1$ . Тогда  $C$  — матрица 12-го порядка, и для определения  $\kappa$  получается следующее характеристическое уравнение:

$$\begin{aligned} & [\kappa^2 - \alpha_{-1}^2 - iR(\alpha_{-1} - ac)] [\kappa^2 - \alpha^2 - iaR(1 - c)] [\kappa^2 - \alpha_1^2 - iR(\alpha_1 - ac)] = \\ & = -1/4 \alpha R^2 \varepsilon^2 \{ \alpha_{-1} [\kappa^2 - \alpha_{-1}^2 - iR(\alpha_{-1} - ac)] + \alpha_1 [\kappa^2 - \alpha_1^2 - iR(\alpha_1 - ac)] \} \end{aligned} \quad (3.8)$$

Из уравнения (3.8) сразу видно, что, когда какой-нибудь из сомножителей в левой части близок к нулю ( $\kappa$  — корень), два оставшихся сомножителя имеют порядок  $R^2$  и корни будут иметь вид

$$\kappa_n = [iR(\alpha_n - ac) + \alpha_n^2 + \varepsilon^2 d(iRa + b)]^{1/2} \quad (3.9)$$

где  $a$ ,  $b$  и  $d$  действительны, зависят от  $\alpha$ ,  $\beta$  и  $n$  и имеют порядок единицы. Таким образом, если  $\varepsilon$  — достаточно малая величина, можно с хорошей точностью использовать выражение (3.7) вместо того, чтобы искать корни из уравнения (3.8). Исключения составляют точки, где  $\alpha_n - ac$  либо  $\alpha_n$  обращаются в нуль. Аналогичные рассуждения можно провести и для других значений  $s$ .

Компоненты собственных векторов  $Z^{(i)}$  находятся подстановкой выражения  $Z^{(i)} e^{i\kappa y}$  в систему уравнений (3.4). Каждый из найденных собственных векторов используется в качестве начальных данных для численного интегрирования системы (3.4) от внешней границы пограничного слоя к стенке. Параметры  $\alpha$ ,  $R$  и  $c$  должны быть подобраны таким образом, чтобы удовлетворить на стенке первому из граничных условий (3.3). При интегрировании системы (3.4) возникают трудности, связанные с наличием малого параметра  $(\alpha R)^{-1}$  при старшей производной. Эти трудности, как и в работе [1], успешно преодолеваются применением метода ортогонализации.

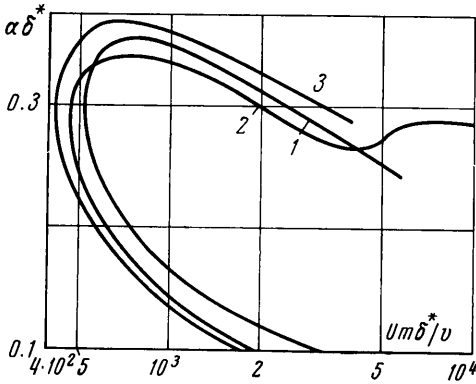
4. Результаты расчетов устойчивости пограничного слоя на волнистой поверхности представлены на фиг. 1–4. Здесь  $\delta^*$  — толщина вытеснения невозмущенного пограничного слоя, т. е. при  $\varepsilon = 0$ ,  $\nu$  — вязкость,  $U_m$  — характерная скорость вне пограничного слоя. При проведении расчетов оказалось, что практически необходимая точность определения собственных значений достигается уже при  $s = 1$  в формуле (2.9). Величины параметров  $\beta\delta^*$  и  $\sigma_0^{-1} = (2 - B)\beta L$ , где  $L$  — характерная длина от начала поверхности до середины рассматриваемого  $x$ -интервала, а  $B$  — параметр Фокнера — Скэн, выбраны в соответствии с ограничениями на длину волны волнистости, введенными в [1]. Когда профиль скорости невозмущенного пограничного слоя принадлежит семейству Фокнера — Скэн, как это имеет место в данной работе, эти ограничения гласят (физический смысл ограничений см. в [1])

$$\beta\delta^* \ll 1, \quad 2\pi(2 - B)\sigma_0 \ll 1$$

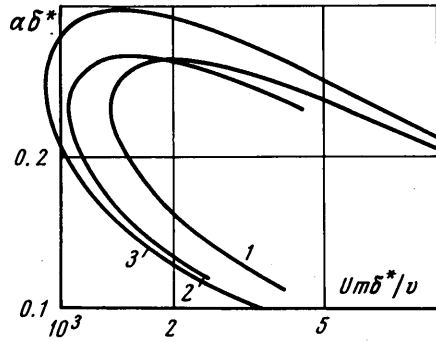
Во всех расчетах значение  $\sigma_0$  фиксировано и  $\sigma_0 = 0.004$ .

На фиг. 1 ( $B = 0$ ) приведены нейтральные кривые при  $\varepsilon = 0$  (кривая 1) и  $\varepsilon = 0.01$ , причем в последнем случае  $\beta\delta^*$  принимает значения

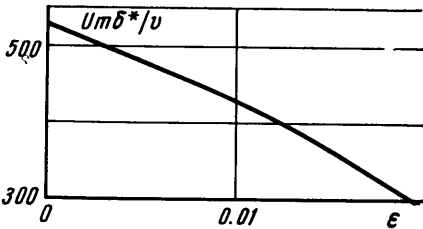
0.108 и 0.292 (кривые 2 и 3 соответственно). Видно, что в присутствии волнистости критическое число Рейнольдса понижается. При  $B=0.1$  (фиг. 2) влияние параметров волнистости на критическое число Рейнольдса сильнее (значения  $\epsilon$  и  $\beta\delta^*$  на фиг. 2 те же, что и на фиг. 1). Из фиг. 1, кроме того, видно, что при  $\epsilon \neq 0$  ( $\beta\delta^* = 0.108$ ) поведение нейтральной кривой заметно отличается от поведения нейтральной кривой при  $\epsilon = 0$ . В частности, при увеличении числа Рейнольдса, начиная с некоторых значений, величина  $\alpha\delta^*$  больше не убывает, что связано, по-видимому, с невязкой неустойчивостью. Фиг. 3 показывает влияние параметра  $\epsilon$  ( $\beta\delta^* = 0.292$ ) на критическое число Рейнольдса.



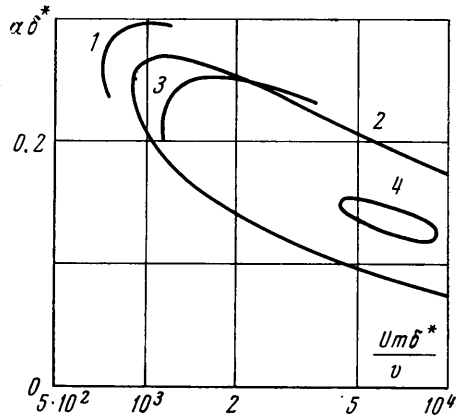
Фиг. 1



Фиг. 2



Фиг. 3



Фиг. 4

На фиг. 4 цифрами 1 и 3 обозначены кривые, построенные для значений  $s_i = 0.01$  и  $0.0193$ . В обоих случаях  $B = 0$ ,  $\epsilon = 0.01$  и  $\beta\delta^* = 0.108$ . Для тех же значений  $s_i$  приведены кривые, взятые из работы [5] (они обозначены через 2 и 4), соответствующие случаю гладкой поверхности. Сравнение показывает, что над волнистой поверхностью коэффициенты роста возмущений значительно превышают значения  $s_i$  над гладкой поверхностью при одинаковых значениях  $R$  и  $\alpha$ . Учитывая, что зона неустойчивости для пограничного слоя над волнистой поверхностью шире, чем для случая гладкой поверхности, можно предположить в соответствии с [6] значительное влияние волнистости на число Рейнольдса перехода.

## ЛИТЕРАТУРА

1. Gortler H. Einfluss einer schwachen Wandwelligkeit auf den Verlauf der laminaren Grenzschichten. *Z. angew. Math. Mech.*, 1947, Bd 25/27, S. 233; 1948, Bd 28, Nr 1, S. 13.
  2. Линь Цзя-цзяо. Теория гидродинамической устойчивости. М., Изд-во иностр. лит., 1958.
  3. Годунов С. К. О численном решении краевых задач для систем линейных обыкновенных дифференциальных уравнений. *Усп. матем. н.*, 1961, т. 16, вып. 3 (9), стр. 171.
  4. Гапонов С. А., Левченко В. Я., Соловьев А. С. Устойчивость пограничного слоя на плоской пластине с однородным отсасыванием. *Изв. СО АН СССР, Сер. техн. н.*, 1970, вып. 2, № 8, стр. 65.
  5. Wazzan A. R., Okamura T. T., Smith A. M. O. Spatial stability study of some Falkner — Skan similarity profiles. *U. S. Proc. 5. Nat. Congr. Appl. Mech.*, p. 836, New York, A.S.M.E., Univ. Minnesota, June 1966.
  6. Jaffe N. A., Okamura T. T., Smith A. M. O. The determination of spatial amplification factors and their application to predicting transition. *AIAA paper*, 1963, No. 10, p. 10.
-